

تأثير الأشعة الكهرومغناطيسية في بعض المعايير الكيموحيوية والنسجية لكلى وأكباد

ذكور الجرذان المختبرية *Rattus norvegicus*

فاطمة عزيز مهدي ، ستار عبود فارس

قسم علوم الحياة/ كلية التربية للعلوم الصرفة / جامعة ذي قار

الخلاصة

صممت الدراسة الحالية لمعرفة تأثير الأشعة الكهرومغناطيسية Electromagnetic Radiations المنبعثة من أجهزة الإتصال الذكية في بعض المعايير الكيموحيوية فضلا عن التغيرات النسجية المرضية في كلى ذكور الجرذان المختبرية وأكبادها *Rattus norvegicus* ، إذ أستخدم ثمان وأربعون من ذكور الجرذان ، قسمت عشوائيا إلى ثمان مجاميع إحتوت كل مجموعة على ست جرذان ، عرضت أربع مجاميع منها إلى الأشعة الكهرومغناطيسية المتولدة من وضع أجهزة الموبايل داخل أقفاص الحيوانات لفترات زمنية مختلفة تضمنت (1 شهر، 2 شهر، 3 شهر و 6 شهر) فيما عدت المجاميع الأخرى المتبقية كمجاميع سيطرة للفترات الزمنية (1 شهر، 2 شهر، 3 شهر و 6 شهر) على التوالي . بعد إنتهاء الفترات الزمنية للتعرض شرحت الحيوانات وجمع الدم لغرض قياس المعايير الكيموحيوية ، كما تم إستئصال عضوي الكلية والكبد إذ حفظا في محلول الفورمالين 10 % تمهيدا لتحضير المقاطع النسجية .

سببت الأشعة الكهرومغناطيسية إرتفاعا في تركيز اليوريا و الكرياتنين لمجاميع الحيوانات المعرضة عند مقارنتها مع مجاميع السيطرة الخاصة بها ، وقد إزداد الإرتفاع بزيادة مدة التعرض وتحت مستوى الإحتمال ($P \leq 0.05$) . بينت النتائج إنخفاضا معنويا ($P \leq 0.05$) في إنزيمات الكبد التي تشمل Alanine Transaminase (ALT) و Aspartate Transaminase (AST) و Alkaline Phosphatase (ALP) في كل مجاميع التعرض عند مقارنتها مع مجاميع السيطرة ما عدا مجموعة (التعرض 2) في حالة ALP والتي لم يلحظ فيها فرقا معنويا مقارنة مع مجموعة (السيطرة 2) ، لوحظ أيضا بزيادة فترة التعرض إنخفاضا في ALP و AST و ALT لمجاميع التعرض فيما بينها . أشارت النتائج أيضا إلى وجود إرتفاع في مستوى الكولسترول والكليسيريدات الثلاثية لكل مجاميع التعرض مقارنة بمجاميع السيطرة الخاصة بها ، كما إزداد في مجاميع التعرض فيما بينها بزيادة مدة التعرض للأشعة الكهرومغناطيسية وتحت مستوى إحتمال ($P \leq 0.05$) . من جانب آخر أظهر الفحص النسجي إن نسيج الكلية قد تأثر بالأشعة الكهرومغناطيسية إذ تضمنت التغيرات النسجية المرضية إحتقان دموي للأوعية وحدوث نزف دموي بين النبيبات الكلوية مصحوبا بإرتشاح الخلايا الإلتهابية وتحطم الكبيبات الكلوية بينما لوحظ في مقاطع نسجية أخرى ضمور وتحلل الكبيبات الكلوية وتوسع لحيز بومان ، كذلك فقد تأثرت النبيبات الكلوية بفعل التعرض للأشعة الكهرومغناطيسية إذ لوحظ تحطم جدرانها وفقدانها لهيأتها الطبيعية . وفي الكبد أدى التعرض للأشعة الكهرومغناطيسية إلى حدوث تغيرات مرضية نسجية تضمنت إحتقان دموي للوريد المركزي وإحتقان الجيبانيات

الكبدية مع إرتشاح كثيف للخلايا الإلتهابية ، كما تنوعت التغيرات المرضية لتشمل النزف الدموي للكبد وتفجى الخلايا الكبدية فضلا عن ملاحظة ظهور حالات الخرب .

الكلمات المفتاحية : الأشعة الكهرومغناطيسية ، اليوريا ، الكولسترول ، الكلى.

Effect of Electromagnetic Radiations in Some Biochemical Parameters and Histopathological Changes for Laboratory Male Rats *Rattus norvegicus*

Fatima Aziz Mahdi

Sattar Abood Faris

Biology Department /College of Education for Pure Sciences / University of Thi-Qar

Abstract

The present study was designed to investigate the effect of electromagnetic radiations emitted from mobile phone devices in some biochemical parameters and histopathological changes of kidney and liver for male laboratory rats *Rattus norvegicus* . Forty eight of male rats were divided randomly into eight groups and each group consist of six rats . Four groups of these were exposure to electromagnetic radiations by mobile phone that put in cages at different time periods included (1, 2, 3 and 6 month) while the other residual groups were considered as a control groups at same time periods . After ending up time periods of exposure , every animals were dissect and collected of blood samples for the purpose of biochemical parameters measurement . As such kidney and liver have eradication, which kept in proven solution (formalin 10%) to paving preparing tissues sections .

Electromagnetic radiations caused an increasing in concentration of urea and creatinine for exposure animals groups when comparing with control groups . The results revealed a significant decrease ($P \leq 0.05$) in liver enzymes which comprises ALT , AST and ALP in all exposure groups when comparing with control groups except (exposure2) group in ALP that did not observe significant difference compared to (control 2) group . The gradual decrease was observed in ALT , AST and ALP when comparing between all exposure groups . The results were indicated increase in level of cholesterol and triglyceride for all exposure groups

compared to control groups , the increase was elevated between all exposure groups by progressive time exposure to electromagnetic radiations . In the other hand the kidney showed histopathological changes included congestion of vessels , haemorrhage was happened between renal tubules accompanied by inflammatory cells infiltration with breaking down of renal glomeruli while the contraction, absence of glomeruli and enlargement of space Bowman 's capsule were observed in another tissue sections , the renal tubules was affected by electromagnetic radiations which breakage the walls of renal tubules and it loss the natural structure .The electromagnetic radiations exposure led to histopathological changes in livers of animal included congestion of the central vein , congestion of sinusoids with heavy infiltration of inflammatory cells , besides pathological changes were varied to involve haemorrhage of livers , vacuolation of hepatocytes as well as appearance edema statuses .

1 - المقدمة

تكون المجالات الكهرومغناطيسية Electromagnetic Field
بشكل طاقة تتجمع من مصادر طبيعية وأخرى صناعية مختلفة على شكل موجات كهرومغناطيسية (EMF) تتنقل مباشرة مع أنظمة الحيوية كخلايا الإنسان والحيوان والنباتات وانتقال الموجات تتكوّن نماذج في الطيف الكهرومغناطيسي Electromagnetic Spectrum (Mailankot et al., 2009 Teodori et al., 2014).
يتضمن الطيف الكهرومغناطيسي كلاً من الأشكال المختلفة من الأطوال الموجية متمثلة بالأشعة السينية X-rays وأشعة جاما Gamma rays وكل منها ذات تردد عالٍ والأشعة فوق البنفسجية Ultraviolet والضوء المرئي Visible والأشعة تحت الحمراء Infrared light وإضافة إلى الموجات المايكروية Microwaves والموجات الراديوية (ICNIRP, 2004 ; Seker and Apaydin, 2000).
تعد الموجات المايكروية موجات كهرومغناطيسية موجودة في البيئة التي يبلغ مدتها (300 MHz-300 GHz) (Rusnani et al., 2008 ; Solanki et al., 2010) وتستخدم لتلك الموجات في مجال الاتصالات التي يبلغ مدتها المستعمل في أجهزة الاتصالات اللاسلكية حوالى (Yurekli et al., 2006) (900MHz-1 GHz) إذ تنتقل أجهزة الاتصالات اللاسلكية مجال كهرومغناطيسي أو الإستعمال الكثير لتلك الأجهزة فيز يد من شدة التعرض لـ EMF من 1 إلى 1000 MHz. وبممكنها أن تهدد صحة الإنسان (Croft et al., 2002).
وتسبب EMF تحفيز دوائمة من التيار اتقتر اكيبالمواد الموصلة Conductor كأنسجة الجسم محدثة تدفقاً لتلك التيار اتقيل الجسم مما يق

وإلنتأثر الخلاياها (Bowman et al., 1988)
إذ يعد غشاء الخلية موقعاً مهماً للتداخل مع التيار المتولد بفعل EMF مؤدياً إلى تغيير اتقريب وظائف الخلايا والأنسجة والتعجيل في نمو الأورام Tumors وتغيير اتقريب فعالية الدماغ ومعدل القلب واضطراباته مونية. (Guenel and Lellouch , 1992)
تهدف الدراسة الحالية إلى دراسة تأثير الأشعة الكهرومغناطيسية على بعض المعايير الكيموحيوية لذكور الجرذان المختبرية إضافة إلى تديد بعض التغييرات النسيجية المرضية للكلى .

2 - مواد العمل وطرقه Materials and Methods

1.2. تهيئة الحيوانات Preparation of animals

أجرى الباحثون الدراسة الحالية على ذكور الجرذان المختبرية من سلالة راتو ووجيا الأبيض *Rattus norvegicus* التي تم الحصول عليها من المركز الوطني للرقابة والبحوث الدوائية في محافظة بغداد، تراوحت أعمارها ما بين (10-12) أسبوعاً ووزانها (230-250) غراماً، إذ نقلت الجرذان إلى البيئات الحيوانية التابعة لقسم علوم الحياة / كلية التربية للعلوم الصرفة / جامعة ذي قار .

ترك جميع الحيوانات اتقريباً في البيئات الحيوانية لمدة ثلاثون يوماً ما لغير ضالتكيف والتأقلم تحتظروف مختبرية منظمة ومسيطر عليها من حيث التهوية وإضاءة ودرجة الحرارة التي بلغت (22-25) درجة مئوية .
وضعت الجرذان في أقفاص بلاستيكية، وفرت أشعة الأشعة فوق البنفسجية والخشب التي كانت تستبدل أسبوعياً للمحافظة على نظافة الجرذان كما أعطيت الماء والعليقة المركزات الخاصة بتغذية الجرذان يومياً وبشكل *ad libitum* .

مصدر الأشعة الكهرومغناطيسية Electromagnetic Radiations Source

عرضت الجرذان المختبرية لأشعة كهرومغناطيسية متولدة من وضع أجهزة الموبايل نوع (Nokia 1280) داخل أقفاص الحيوانات وبمسافة 20 سم عن الحيوانات المختبرية (Mailankot et al., 2009) .

3.2. تصميم التجربة Experimental Design

تم تهيئة (48) من ذكور الجرذان المختبرية إذ قسمت إلى ثمان مجاميع تتكون كل مجموعة من ست جرذان (n=6) وتضمنت الآتي :

- 1- المجموعة الأولى / (السيطرة 1) عدت كمجموعة سيطرة لمدة 1 شهر .
- المجموعة الثانية / (السيطرة 2) عدت كمجموعة سيطرة لمدة 2 شهر .
- 3- المجموعة الثالثة / (السيطرة 3) عدت كمجموعة سيطرة لمدة 3 شهر .
- 4- المجموعة الرابعة / (السيطرة 6) عدت كمجموعة سيطرة لمدة 6 شهر .
- 5- المجموعة الخامسة / (التعرض 1) عرضت للأشعة الكهرومغناطيسية المنبعثة من الموبايل لمدة 1 شهر .
- 6- المجموعة السادسة / (التعرض 2) عرضت للأشعة الكهرومغناطيسية المنبعثة من الموبايل لمدة 2 شهر .
- 7- المجموعة السابعة / (التعرض 3) عرضت للأشعة الكهرومغناطيسية المنبعثة من الموبايل لمدة 3 شهر .
- 8- المجموعة الثامنة / (التعرض 6) عرضت للأشعة الكهرومغناطيسية المنبعثة من الموبايل لمدة 6 شهر .

4.2. جمع عينات الدم Blood samples collection

بعد إنتهاء الفترة التجريبية لكل مجموعة شرحت الحيوانات المختبرية وتم جمع الدم من القلب مباشرة بطريقة الوزن القلبي Cardiac puncture باستخدام محاقن طبية ذات سعة (5 مل) ، وضع الدم في أنابيب بلاستيكية خالية من المادة المانعة للتخثر وفصل الدم باستخدام جهاز النذب المركزي Centrifuge بسرعة (3000 دورة / 10 دقيقة) لغرض الحصول على المصل ، إذ حفظ المصل في أنابيب بلاستيكية صغيرة بدرجة (-20°C) لحين إجراء الفحوصات الكيموحيوية عليه .

5.2. قياس المعايير الكيموحيوية

1.5.2. قياس وظائف الكلية : شمل تقدير مستوى اليوريا Urea باستخدام القياس Biomerieux الفرنسية حسب طريقة (Wills and Savory 1981) ، وتقدير مستوى الكرياتنين Creatinine حسب طريقة Tietz (1999) باستخدام عدة القياس Biolabo الفرنسية المنشأ .

2.5.2. قياس وظائف الكبد : شمل قياس مستوى إنزيم الـ ALT والـ AST حسب الطريقة اللونية ووفقا لطريقة (Reitman and Frankel 1957) باستخدام عدة القياس Atlas Medical . وقياس مستوى إنزيم الفوسفاتيز القاعدي ALP باستخدام عدة القياس Biomerieux الفرنسية المنشأ حسب طريقة Belfield and Goldberg (1954) , Kind and King (1970) .

3.5.2. قياس تركيز الكولسترول والكليسيريدات الثلاثية : تم تقدير مستوى الكولسترول Cholesterol حسب الطريقة الإنزيمية الموصوفة من قبل (Allain 1974) باستخدام عدة القياس Biolabo الفرنسية ، وأعدمت طريقة (Trinder 1969) , Fossati and Prencipe (1982) لتقدير مستوى الكليسيريدات الثلاثية Triglycerides باستخدام عدة القياس Biolabo الفرنسية المنشأ أيضا .

6.2. تحضير المقاطع النسجية :

بعد تشريح الحيوانات تم إستئصال الكلى والأكباد حضرنا المقاطع النسجية لها حسب طريقة Bancroft and Gamble (2008) .

7.2. التحليل الإحصائي

أستعمل تحليل التباين Analysis Of Variance (ANOVA) في تحليل النتائج إحصائيا باستخدام برنامج Statistical Package for Social Sciences (SPSS) وأختبرت المعنوية بين المعايير المدروسة تحت مستوى احتمال ($P \leq 0.05$) وباستخدام إختبار (T-Test) و إختبار (Duncan Test) .

3. النتائج

1.3. تأثير الأشعة الكهرومغناطيسية في بعض وظائف الكلية لذكور الجرذان المختبرية

أظهرت نتائج الجدول (1) وجود إرتفاع غير معنوي في تركيز اليوريا في مجموعة (التعرض 1 ، التعرض 2 ، التعرض 3) مقارنة بمجموعة (السيطرة 1 ، السيطرة 2 ، السيطرة 3) على التوالي ، فيما كان الإرتفاع معنويا ($p \leq 0.05$) في تركيز اليوريا لمجموعة (التعرض 6) مقارنة بمجموعة (السيطرة 6) . وقد أشارت النتائج أيضا إلى حصول

إرتفاع غير معنوي في تركيز الكرياتينين لكل مجاميع التعرض عند مقارنتها بمجاميع السيطرة . لوحظ إرتفاع غير معنوي في مستوى اليوريا والكرياتينين عند مقارنة تركيزهما كل على حده لكل مجاميع التعرض فيما بينها إذ إزداد الإرتفاع بتقدم زمن التعرض .

الجدول (1): تأثير الأشعة الكهرومغناطيسية المنبعثة من الموبايل في وظائف الكلية لذكور الجرذان المختبرية

الزمن (شهر)				المجموع ة	وظائف الكلية
6	3	2	1		
47.33±3.61 ^a	47.16±5.1 ^{9^a}	46.00±3.0 ^{3^a}	45.33±3.3 ^{2^a}	سيطرة	Urea (mg/dL)
63.83±9.57 ^b A	56.50± 15.64 ^{aA}	52.33±13.96 ^{aA}	48.00±19.73 ^{aA}	تعرض	
0.78±0.09 ^a	0.78±0.07 ^a	0.76±0.08 ^a	0.71±0.04 ^a	سيطرة	Creatinine (mg/dL)
0.86±0.10 ^{aA}	0.83±0.08 ^{aA}	0.81±0.09 ^{aA}	0.78±0.07 ^a A	تعرض	

- الأرقام في الجدول تعبر عن قيم (Mean ± S.D)
- الحروف المختلفة الصغيرة تدل على وجود فرق معنوي تحت مستوى إحتمال ($p \leq 0.05$) عند المقارنة بصورة عمودية بين مجموعتي التعرض والسيطرة لكل عامل .
- الحروف المختلفة الكبيرة تدل على وجود فرق معنوي تحت مستوى إحتمال ($p \leq 0.05$) عند المقارنة بصورة أفقية بين مجاميع التعرض فقط لكل عامل .

2.3. تأثير الأشعة الكهرومغناطيسية في بعض إنزيمات الكبد لذكور الجرذان المختبرية

بينت نتائج الدراسة الحالية إنخفاض معنوي ($p \leq 0.05$) في تركيز مستو إنزيمي AST و ALT في كل مجاميع التعرض (التعرض 1، التعرض 2، التعرض 3، التعرض 6) عند مقارنتها بمجموعة (السيطرة 1، السيطرة 2، السيطرة 3، السيطرة 6) علالتوالي، وبينما وضحت النتائج وجود إنخفاض معنوي ($p \leq 0.05$) بمستو إنزيم ALP في مجموعة (التعرض 1، التعرض 3، التعرض 6) مقارنة بمجموعة (السيطرة 1، السيطرة 3، السيطرة 6) علالتوالي، وبينما كان هناك إرتفاع غير معنوي في مجموعة (التعرض 2) مقارنة بمجموعة (السيطرة 2) (جدول 2) .
 إتضح من مقارنة إنزيمات الكبد لمجاميع التعرض فيما بينها إنخفاض غير معنوي لإنزيمي AST و ALT، وفيما يتعلق بإنزيم ALP فقدت

فوقمجموعة (التعرض 2) معنويا ($p \leq 0.05$) علمجموعة (التعرض 1، التعرض 3، التعرض 6) بينما كان الانخفاض غير معنوي بين المجاميع (التعرض 1، التعرض 3، التعرض 6).

الجدول (2): تأثير الأشعة الكهرومغناطيسية في بعض إنزيمات الكبد لذكور الجرذان المختبرية

الزمن (شهر)				المجموعة	إنزيمات الكبد
6	3	2	1		
22.66±6.15 ^a	23.66±3.20 ^a	22.33±2.33 ^a	22.00±2.52 ^a	سيطرة	ALT
8.33±2.33 ^{bA}	9.66±1.96 ^{bA}	9.66±1.50 ^{bA}	10.50±1.37 ^{bA}	تعرض	(IU/L)
24.66±7.58 ^a	24.66±3.01 ^a	24.00±4.09 ^a	22.50±2.81 ^a	سيطرة	AST
10.00±1.26 ^{bA}	9.00±2.09 ^{bA}	9.66±1.50 ^{bA}	10.33±0.81 ^{bA}	تعرض	(IU/L)
143.50±34.33 ^a	142.66±12.02 ^a	142.50±13.27 ^a	142.00±15.59 ^a	سيطرة	ALP
56.16±10.38 ^{bB}	66.50±11.30 ^{bB}	183.33±47.68 ^{aA}	71.83±11.97 ^{bB}	تعرض	(IU/L)

الأرقام في الجدول تعبر عن قيم (Mean ± S.D)

- الحروف المختلفة الصغيرة تدل على وجود فرق معنوي تحت مستوى احتمال ($p \leq 0.05$) عند المقارنة بصورة عمودية بين مجموعتي التعرض والسيطرة لكل عامل.
- الحروف المختلفة الكبيرة تدل على وجود فرق معنوي تحت مستوى احتمال ($p \leq 0.05$) عند المقارنة بصورة أفقية بين مجاميع التعرض فقط لكل عامل.

3.3 تأثير الأشعة الكهرومغناطيسية في مستوى الكوليسترول والكليسيريدات الثلاثية لذكور الجرذان المختبرية

أظهرت نتائج الجدول (3) ارتفاعاً غير معنوي في مستوى الكوليسترول في مجموعة (التعرض 1، التعرض 2) مقارنة بمجموعة (السيطرة 1، السيطرة 2) وكذلك حصول ارتفاعاً معنوياً في مجموعة (التعرض 3، التعرض 6) عند مقارنتها بمجموعة (السيطرة 3، السيطرة 6) على التوالي عند مستوى ($p \leq 0.05$). كما أوضحت النتائج حصول ارتفاع معنوي ($p \leq 0.05$) في مستوى الكليسيريدات الثلاثية في مجموعة (التعرض 1، التعرض 3، التعرض 6) بالمقارنة مع مجموعة (السيطرة 1، السيطرة 3، السيطرة 6) على التوالي بينما كان الارتفاع غير معنوي في مجموعة (التعرض 2) مقارنة بمجموعة (السيطرة 2). أظهرت المقارنة بين كل مجاميع التعرض ارتفاعاً غير معنوي في تركيز الكوليسترول والكليسيريدات الثلاثية على التوالي إذ إزداد الارتفاع بتقدم مدة التعرض.

الجدول (3): تأثير الأشعة الكهرومغناطيسية في مستوى الكوليسترول والكليسيريدات الثلاثية لذكور الجرذان المختبرية

الزمن (شهر)

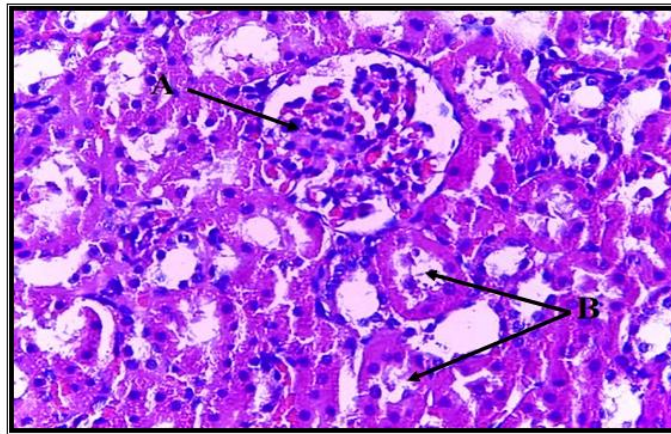
المعايير	المجموعة	1	2	3	6
T.C (mg/dL)	سيطرة	57.33±7.94 ^a	58.50±5.89 ^a	59.00±8.19 ^a	59.16±3.18 ^a
	تعرض	67.83±23.53 ^{aA}	71.66±15.08 ^{aA}	76.33±12.06 ^{ba}	79.83±15.28 ^{ba}
T.G (mg/dL)	سيطرة	36.67±4.13 ^a	36.83±7.65 ^a	37.33±5.16 ^a	37.33±7.20 ^a
	تعرض	48.00±11.24 ^{ba}	46.66±11.41 ^{aA}	51.66±8.82 ^{ba}	52.16±7.30 ^{ba}

الأرقام في الجدول تعبر عن قيم (Mean ± S.D)

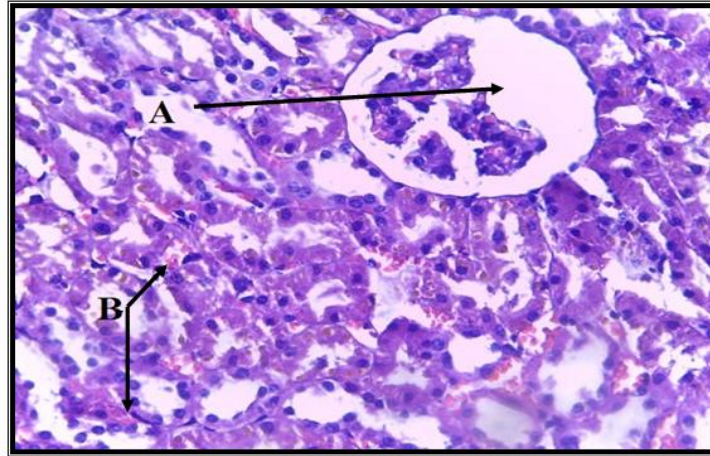
- الحروف المختلفة الصغيرة تدل على وجود فرق معنوي تحت مستوى احتمال ($p \leq 0.05$) عند المقارنة بصورة عمودية بين مجموعتي التعرض والسيطرة لكل عامل .
- الحروف المختلفة الكبيرة تدل على وجود فرق معنوي تحت مستوى احتمال ($p \leq 0.05$) عند المقارنة بصورة أفقية بين مجاميع التعرض فقط لكل عامل .

4.3 تأثير الأشعة الكهرومغناطيسية في كلى ذكور الجرذان المختبرية

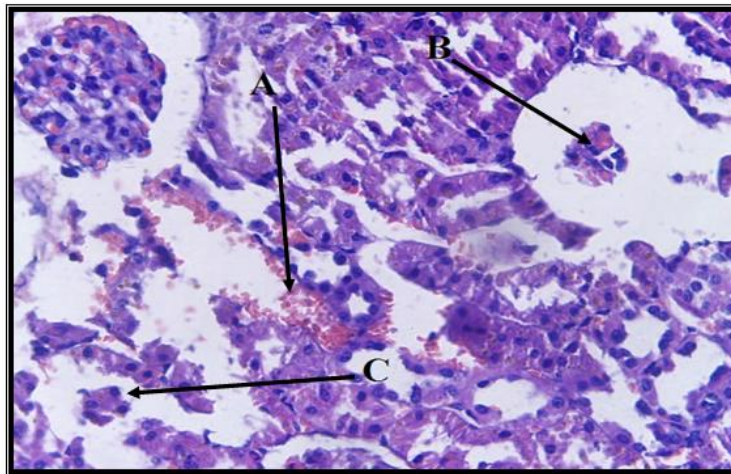
بينت المقاطع النسجية المأخوذة من حيوانات مجاميع السيطرة إن الكلية تتألف من الكبيبات الكلوية بشكلها وحجمها الطبيعية ومن النبيبات الكلوية في منطقة القشرة ، ومن منطقة أخرى تدعى منطقة اللب وتحاط المنطقتان بالمحفظة . لوحظت عدد من التغيرات المرضية النسجية في كلى الحيوانات المعرضة للأشعة الكهرومغناطيسية تمثلت بإحتقان Congestion الأوعية الدموية والنزف Hemorrhage الحاصل بين النبيبات الكلوية مصحوبا بإرتشاح Infiltration الخلايا الإلتهابية إضافة إلى تحطم الكبيبات الكلوية ، فيما قد شهدت مقاطع نسجية أخرى ضمور الكبيبات الكلوية وتحللها وتوسع حيز بومان . كذلك تضمنت التأثيرات النسجية المرضية تحطم لجران النبيبات الكلوية (الصور من 1 إلى 8) .



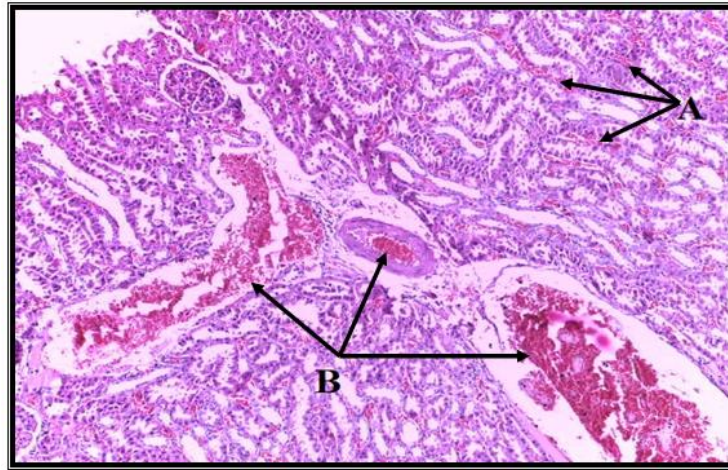
صورة رقم (1): مقطع في نسيج الكلية مجموعة السيطرة يبين الكبيبة الكلوية (A) والنبيبات الكلوية (B) تظهر بشكل طبيعي (400 X) (H&E).



صورة رقم (2): مقطع نسيجي الكلى مجموعة (التعرض 1) يبين تحطما لخلايا المكونة للكبيبات الكلوية (A) مع وجود احتقان نزفي في النسيج بين الكبيبات الكلوية (B) (H&E) (400 X).

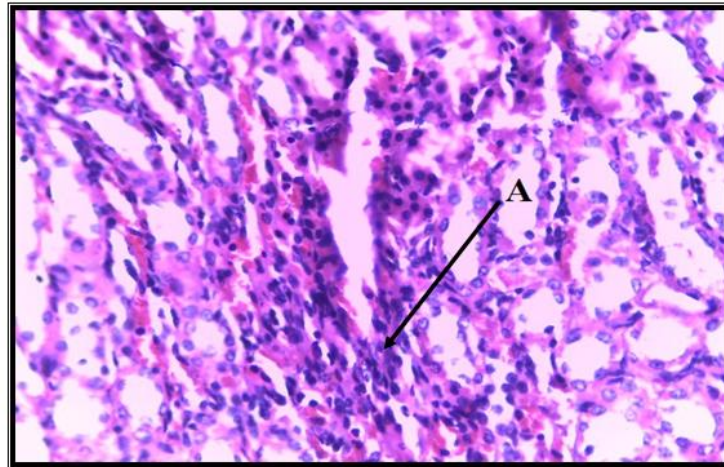


صورة رقم (3): مقطع نسيجي الكلى مجموعة (التعرض 1) يبين ظهور النزف الدموي (A) وتحلل شبه كامل للكبيبات الكلوية (B) مع تحطام جدران الكبيبات الكلوية (C) (H&E) (400 X).

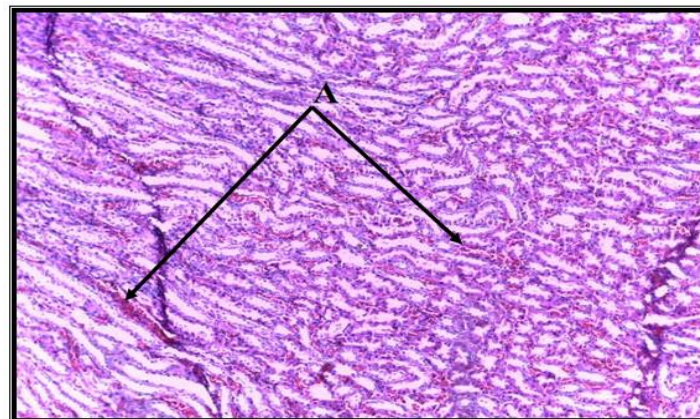


صورة رقم (4): مقطع فينسيجا الكلية مجموعة (التعرض 2) يبين ظهور حالات النزف الدموي (A) مع اجتقان

كبير في الأوعية الدموية (H&E) (100 X) (B) .

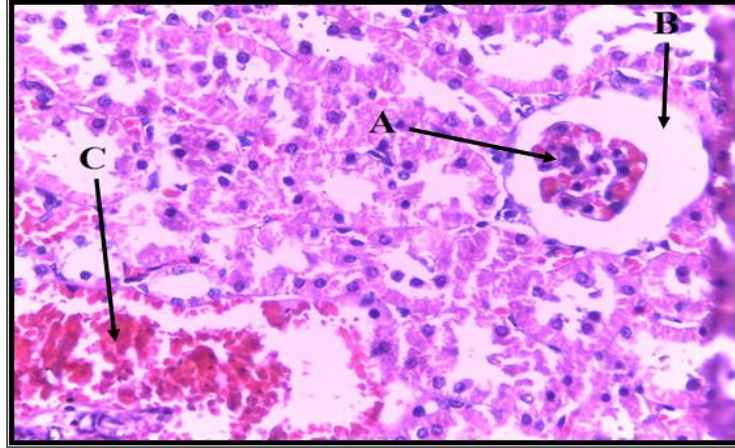


صورة رقم (5): مقطع فينسيجا الكلية مجموعة (التعرض 3) يبين ارتشاح كثيف للخلايا الالتهابية (A) (400X) (H&E) .



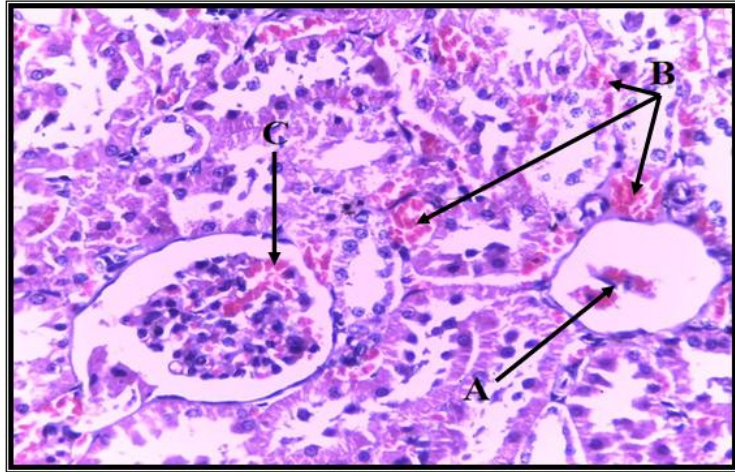
صورة رقم (6): مقطع في نسيج الكلية مجموعة (التعرض 3) يبين اتساع النزف الدموي بين

النبيبات الكلوية (A) (H&E) (100 X) (A) .



صورة رقم (7): مقطع في نسيج الكلية مجموعة (التعرض 3) يبين تضخم الكبيبة الكلوية (A) وتوسع

حيز بومان (B) نزف دموي كبير (C) (H&E) (400 X) (C) .



صورة رقم (8): مقطع في نسيج الكلية مجموعة (التعرض 6) يبين ملاحظة تحلل الكبيبة الكلوية (A)

ووضوح النزف الدموي بين النبيبات الكلوية (B) إضافة لإحتقان الأوعية الدموية الشعرية في الكبيبة (C) (H&E) (400 X) (C) .

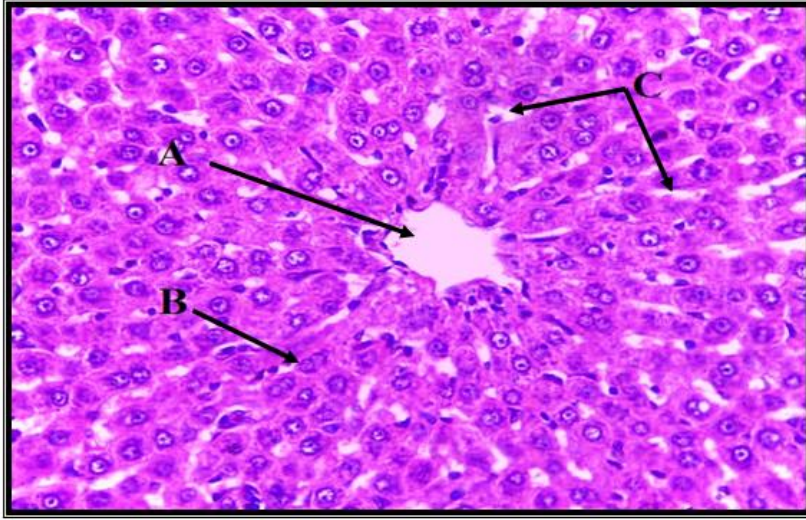
5.3 . تأثير الأشعة الكهر ومغناطيسية في كبد الجرذان المختبرية

بين نتائج الفحص المجهري لنسيج الكبد في مجاميع السيطرة إن الكبد يتكون من نوريد مركزي Central Vein تحيط به الخلايا الكبدية Hepatocytes التي تنحصر بينها الجيبان الدموية Sinusoids، تنثر نبال الخلايا الكبدية تترتبا شعاعيا حول الوريد المركزي .

أدت تعرض الجرذان المختبرية للأشعة الكهر ومغناطيسية للحصول على عدة تغييرات نسيجية في نسيج الكبد شملت حدوث احتقان للوريد المركزي وإ

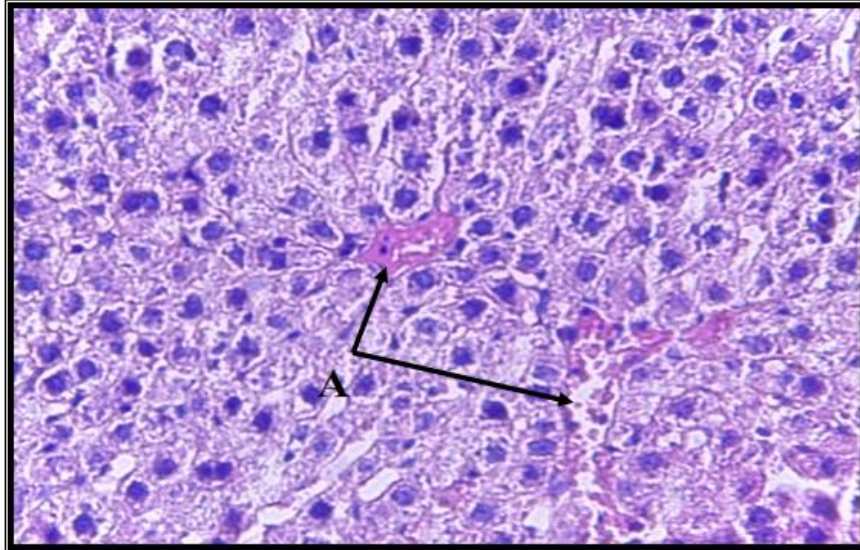
حتقان الجيبانيات الدموية معار تشاحكثيف للخلايا الإلتهابية فيعدة مواقع منالكبد، وازدادت هالتغير اتبزيادة مدة التعرض لضلاشعة الكهر ومغناطيسية .

تنوعت أيضا التغير اتالموضعية لتشمل انزفالدمو فيالكبد وتفجيا للخلايا الكبدية وازدياد حالات تجمع السوائل الخزبية Edema (الصور من 9 إلى 15).



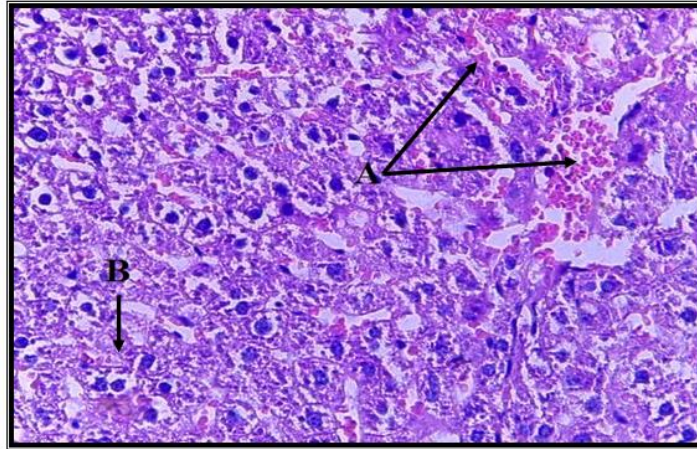
صورة رقم (9): مقطع نسيج الكبد من مجموعة السيطرة بين الوريد البابي المركزي (A) محاطا

بالخلايا الكبدية (B) تحصر بينها الجيبانيات الدموية (H&E) (400 X) (C) .

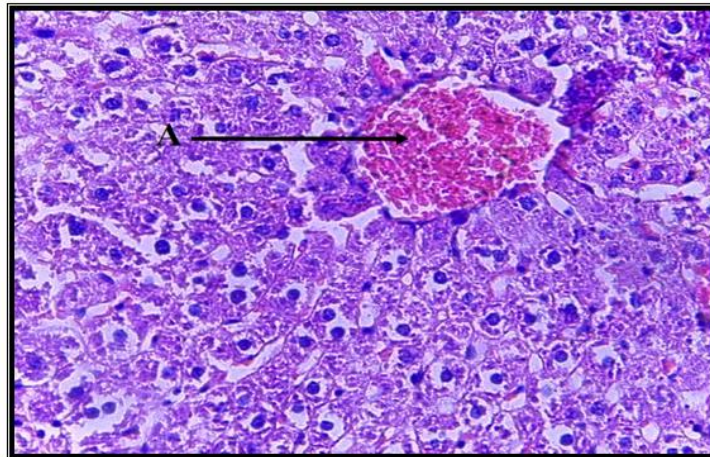


صورة رقم (10): مقطع نسيج الكبد من مجموعة (التعرض 1) بينا جتقانو توسع الجيبانيات الكبدية إذ تكون

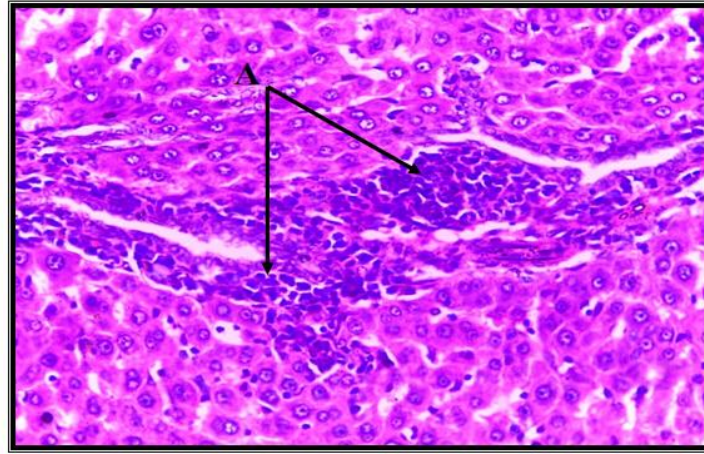
مملوءة بكريات دم حمراء (H&E) (400 X) (A) .



صورة رقم (11): مقطع فينسيجال كبد مجموعة (التعرض 2) يبين نزف دموي واضح
(A) وتفجيا لخلايا (H&E) (400 X) (B) .

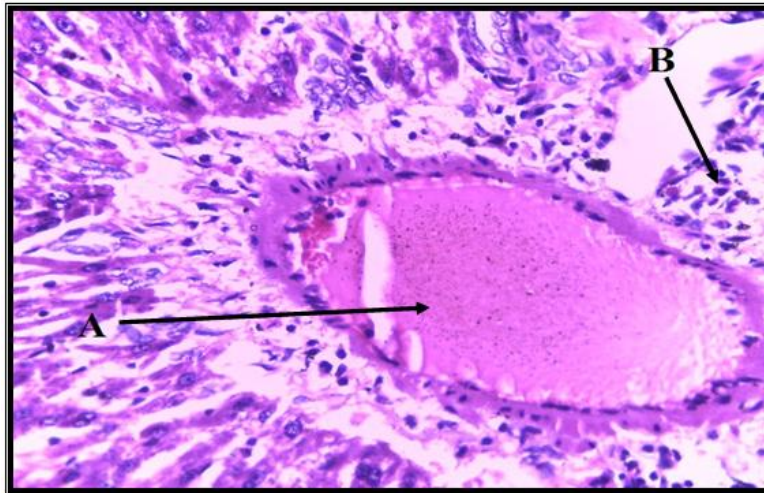


صورة رقم (12): مقطع فينسيجال كبد مجموعة (التعرض 6) يبين احتقان وتوسع
للوريد المركزي (A) (H&E) (400 X) .



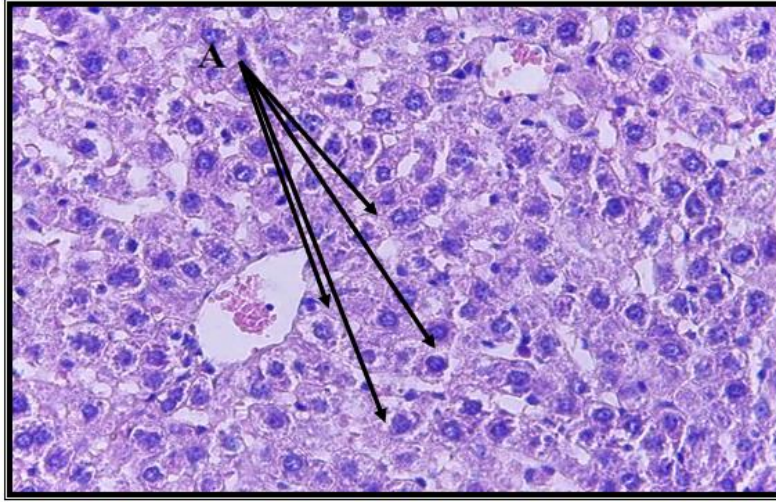
صورة رقم (13): مقطع فينسيجال كبد مجموعة (التعرض 6) يبين ارتشاح كثيف

للخلايا الالتهابية (A) (H&E) (400 X) .



صورة رقم (14): مقطع فينسيجال كبد مجموعة (التعرض 6) يبين احتقان الوريد المركزي

(A) مع ارتشاح في جدار الخلايا الالتهابية (B) (H&E) (400 X) .



صورة رقم (15): مقطع في نسيج الكبد مجموعة (التعرض 6) يبين تفجي الخلايا الكبدية (A) (400 X) (H&E) .

4 . المناقشة

1.4 تأثير الأشعة الكهر ومغناطيسية في وظائف الكلية للجرذان المختبرية

في ضوء نتائج الدراسة الحالية التي تم الحصول عليها من قياس بعض وظائف الكلى لدى جرذان المختبرية في ضوء تعرضهم لمستويات اليورانيوم والكريبتاتين الحيوانية الناتجة من التعرض للأشعة الكهر ومغناطيسية بمقادير مختلفة، كما كان هناك ارتفاع في تركيزهما في جميع العينات التي تم تحليلها، إذ تقديراً نسبياً، تفادى التعرض للآثار المعاكسة للتأثير EMR في نسيج الكلى، ومناطبيعيان الخلايا لا يزالان في مستوى طبيعي، إذ تقديراً، ومالكية تدور هامافيتقية الدم وتخليصها من السموم والنواتج الأيضية (Guyton and Hall, 2006)، كما لاحظ (Al-Mosawi, 2006) إن انخفاض الكوليسترول في الخلايا الكلى هو الذي سيترتب عليه تباينات إكمال الفصائل النتر وجينية الكليورانيوم والكريبتاتين، تعتمد زيادة مستوى الكليورانيوم والكريبتاتين على الترتيبات الطبيعية التي تبطن علاقة عكسية بزيادة اليورانيوم والكريبتاتين، جعلها إنخفاضاً كانية الكلية التي تترشح الذير بما قد يعود إلى الأضرار اللاحقة بالكلى نتيجة التعرض لـ EMF، أظهرت دراسة (Gowda et al., 2009) إنخفاضاً وتفاقم مستوى اليورانيوم والكريبتاتين عن مستوياتها الطبيعية، تدل على خلل في وظائف الكلى، أشار (Al-Glaib et al., 2008) إلى أن الضرر الخلوي الكليوي هو أكثر إضراراً بعلمها وتركا الكليورانيوم والكريبتاتين بالتالي، إذ قد يكون سبباً في إنعكاسية الترتيبات المشوهة عن الكليوبات الكلوية Glomeruli، فسلامتها تعطى مشراً على كفاءة عملية الترشح، فقد يكون سبباً في فاضل الترشح الكليوي، إن الضرر الكليوي يتسبب في تنشيط الكهر ومغناطيسي، إذ أوضح (Bayazit, 2009) إن التعرض لـ EMF يحث ضمور الكليوبات ويسبب تفجي Vacuolation الكليوي، ويفقد القدر على القيام بوظائفها، وبالتالي إنخفاض معدل الترشح الكليوي، الذي يفسر ظهور الضرر الكليوي، إن نتائج الدراسة الحالية المتمثلة بضمور وتحلل الكليوبات الكلوية في المقاطع النسيجية، لكل من جميع العينات التي تم تحليلها، والأشعة الكهر ومغناطيسية.

2.4 تأثير الأشعة الكهر ومغناطيسية في وظائف الكلى للجرذان المختبرية

إتضمنت نتائج الدراسة الحالية حصول انخفاض في مستوى إنزيمات الكبد التي تشمل ALT وALP وAST في ذكور الجرذان المختبرية الم عرضة للأشعة الكهر ومغناطيسية للموبايل .

قد يكون سبب انخفاض إنزيمات الكبدية التأثير الكبدية للأشعة الكهر ومغناطيسية المنبعثة من الموبايل، إذ وجد Thapa and Walia (2007) إن قياس إنزيمات الكبد في قديمي موظائف الكبد كما إن اختلافها عن مستوياتها الطبيعية قد يدل على ضرر واعتلال الكبد، أو قد يعود ذلك

لإنخفاض إنتاج الخلايا الكبدية وموتها بفعل الإشعاع الكهر ومغناطيسيو هذا ما سيعيق أداء وظائفها بالشكل الصحيح والتسبب حدوث إنخفاض مستوى إنزيمات الكبد، وهذا يتفق مع ما جاء به Yakubu et al.

(2005) الذين إن إنزيمات الكبد تعد كمؤشر على إنحلال الخلايا الكبدية وتحطمها .
وقد يرجع إنخفاض إنزيمات الكبد إلى التأثير EMR على الخلايا الكبدية بفعل تحفيزها على الموت الخلوي المبرمج الذي يسير بعملها ويضعف

ستو إنزيمات الكبد في مصل الدم ما إذا وضح (2009) Lahijani et al. إن الأشعة الكهر ومغناطيسية (NIR) تؤثر في الخلايا الكبدية بفعل زيادة إنتاج الجذور الحرة التي تهاجم أغشية الخلايا محفزة إياها على الموت الخلوي المبرمج والتخرس .

إن ضرر أغشية الخلايا الكبدية قد يؤثر في فاديتها ويؤدي إلى عدم تحرر إنزيمات الكبد إلى الخارج، إذ بين Sunmonu et al. (2014) إن ALP يعبر عن سلامة الغشاء البلازمي في الكبد وإنخفاض مستواه يدل على ضرر في وظيفة الكبد .

كذلك يمكن أن يفسر هبوط إنزيمات الكبد وخاصة إنزيم ALP التأثير EMR في نسيب المعادن كالزنك، وهذا يتفق مع Dufour (2001) الذي ذكر بأن عنصر الزنك الفوسفور تعدد كواحد من أهم الفعالة إنزيم ALP ونقصها يحدث إنخفاض في تركيز الإنزيم .

جاءت نتائج المقاطع النسيجية في الدراسة الحالية لنسب الكبد مطابقة لما وصفه علاه من أسباب حدوث إنخفاض في نسيب الكبد وما يصاحبه من تأثيرات على مستوي إنزيمات الكبد .

3.4. تأثير الأشعة الكهر ومغناطيسية في مستوى الكوليسترول والكليسيريدات الثلاثية للجرذان المختبرية

سجلت نتائج الدراسة الحالية إن تفاوت في مستوى الكوليسترول والكليسيريدات الثلاثية لحيوانات التجربة المعرضة للأشعة الكهر ومغناطيسية بمقارنتها بمجاميع السيطرة، كما شهدت مجاميع التعرض ضفيما بينها إن اختلافات في تلك المعايير وقد إنزاد دابتيز زيادة مدة التعرض .

قد يفسر إن تفاوت في مستوى الكوليسترول إلى EMF في إحداث إن تغيرات على البروتينات الدهنية Low Density Lipoprotein LDL كونها غالباً الكوليسترول ويكون محمولا عليها وإضعاف عمل مستقبلاتها الذي يسبب زيادة مستوى الكوليسترول وفي مصل الدم، إذ أشار

Noaman and Ibrahim (2005) إن الدور EMF في تحوير الخصائص الفيزيائية والكيميائية للبروتينات الدهنية والتداخل مع مستقبلاتها الخلية .

كما أوضح (2005) إن إنخفاض كفاءة مستقبلات LDL تسبب إنخفاض هدمها للبروتينات وتثبيت عملها لإنزيمات المسؤولة عن تحلل الكوليسترول

Lipase و بالتالي إنزيمات المسؤولة عن تحلل الكوليسترول .
Lipoprotein
أور بما يرجع سبب إن تفاوت الكوليسترول وإنخفاض الكبد بفعل التعرض EMF إذ إن ضرر هيوثر على عملية أيضه هونو ينتج عنها زيادة

الأحماض الدهنية الحرة
Free Fatty Acids
التي تعد المكونات الرئيسية لبناء الكوليسترول والكليسيريدات الثلاثية، إذ إتضمنت نتائج المقاطع النسيجية للدراسة الحالية تعرض

نسيب الكبد بفعل التعرض EMF . بين (1999) et al. (Jaeschke

إن أضرار الخلايا الكبدية تؤثر في معدّل أيضاً وهو نتو تحدثتغير افي مستو بالكولسترول . إتفتنتناجر ادراسة الحالية مع Hassan (2011) التيتو صلتدر استهال الحدو ئز زيادة معنوية قيمستو بالكولسترول وعندتعر ضأناأالجر ذانال مجال مغناطيسي ذو شدة 104 mT . وقد إتفتنتناجر ادراسة الحالية أيضاً معتناجر ادراسة (Marzook et al. (2014 الذي لاحظو جو دتغير اتمعنوية قيمستو بالكولسترول و الكليسير يداتال ثلاثية قيمجاميعالجر ذاننتيجةتعر ضهال EMF .

أو قديكو نالسببفيار تقا معستو بالكولسترول و الكليسير يداتال ثلاثية هو الجهد التأكسديال ناتجمنالتشعيعالكهر و مغناطيسي بفلتكو ينالجر ذور الحر ة و خصوصاً ROS التيتسببالأكسدة الفوقية للدهون و هذا يعنيمها جملتها الأحماض الهنية غير المشبعة و زيادة تحللها فيمجر بالدم، إذ إنز يادة مستو بالكليسير يداتال ثلاثية دليل على تحطمالدهون . أشار (Dindic et al. (2010 البأن EMF تسببالأكسدة الفوقية لدهوناً غشية الخلية .

4.4. تأثير الأشعة الكهر و مغناطيسية في كلبذكور الجر ذانالمختبرية

أو ضحال فحصالمجره يللمقاطعالنسجية الكليحيواناتالجر به المعرضة للأشعة الكهر و مغناطيسية حدو تتغير انتسجية مر ضية كإح تقانالأوعية الدموية، قدير جعلالسببفي هذا التأثير الأشعة الكهر و مغناطيسية فيز يادة إرقا عضطالدم، بين (Li et al. (2007) حدو ئر تقا عضطالدم فيالجر ذانالمختبرية نتيجة لتعر ضهال الأشعة الهاتقالنقال . كما أشار (Hietanen et al. (2002) إلبار ديداضغطالدم لمستخدميالمو بابل، إذ يعمل إرقا عضطالدم لعلنز يادة تسعالأوعية الدموية و تجمع خلايا الدم فيها مما يؤ ديا لبحصولحالة الإحتقان، أشار (Mohamed et al. (2011) إلبار ديداضغطالدم بفعلا لتعر ضهال EMF و قدأ عز بالباحثنفسه إرقا عضطالدم لعلنز يادة فعالية إنز يمالر نين فيالبلازما Plasma Activity . Renin

قديفسر حدو ئر حالاتالنز فالدمو ييسببتمز قجر ذانالأوعية الدموية نتيجة لعلنز يادة ضغطالدم فيها إرقا عضطالدم الكهر و مغناطي سيو بالتالي إنسيببالدم بالخارجها .

إن إرتشاحالخلايا الإلتهابية الذي يظهر في أكثر منمو قعل الكليتيو الكبد قديكو نناجماعنتأثير EMF فيز يادة إنتاجأو كسيدالنتر يكبسببحدو ئر إرقا عضطالدم الجهد التأكسدي (Ilhan et al. (2004) . إذ وجد (Xiaodong et al. (2012) إنأو كسيدالنتر يكبسبببالإلتهابية فيمختلفأنسجة الجسم .

أظهر تالمقاطعالنسجية للكلاب أيضاً تحطمالكبيباتالكلوية و إستمر تالتأثير اتمر ضية بوضو حبلما حظة ضمور الكبيباتالكلوية و تحل لها فيمقاطعأخر بإضافة إلتو سعحيز بومان، قديكو نسببهد هالتغير اتهو تأثير الجذور الحر ة المتولدة منالتعر ضهال الأشعة الكهر و مغنا طيسية فيالأغشية الخلية، إذ بين (Dhanaskara and Ganapathy (2011) و Alisi et al. (2011) إنالجذور الحر ة تعمل علىأكسدة هوناً غشية الخلية، كما أوضح (Sudhir (2004) إنالمؤكسدة انتسببتحطمالكبيباتالكلوية و تلفها بفلتتهو تنخر أغشيتها .

تكسحالجذور الحر ة بفلعكاسحاتالجذور الفعالة كمضادالأأكسدة و الميلاتونين التي تعدعو املمؤكدة لحمايةالنسيجالكلوي منضرر ال

جهد التأكسدي للإنسان استفاد همايؤ ديا لظهور الحالة المرضية، أشار (Kerman and Senol (2012) إلى بان EMF تسببهبوط فتر كيز الميلا تونين، وبالتالي وز دور الجذور الحرة الذيسبقنا لإشارة إليها علاه . سببنا الأشعة الكهر ومغناطيسية تغير انتسجية للنبيبات الكلوية كتحط مجرد انها، أيضا قد إفتقدت بعض النبيبات الكلوية لهايتها الطبيعية من خلال ملاحظة تحطمتها الكامل، أوضحنا (2007) Zare et al. و Al-Glaib et al. (2008) تضرر الخلايا الكلوية وتنخرها عند التعرض لـ EMF بترددات مختلفة .

5.4. تأثير الأشعة الكهر ومغناطيسية في كبد الجرذان المختبرية

فيضو ءماتو صلنا إليها نتاج الدر اسة الحالية لو حظ ظهور تغير انتسجية في أكباد الجرذان المختبرية المعرضة للتشعيع الكهر ومغناطي سيشملت احتقان الوريد المركز يواحتقان الجيبانبات الدموية إضافة إلى النز فالدموي، قد يكون سببهذا التغير اتمردها لتأثير التعرض لـ EMF، أشار (2002) Gokcimen et al. إلى بان التعرض لجرذان اليا فعة للمجال المغناطيسي يحدث أضرار اكبدية ويؤ إلى بتوسعال الجيبانبات تغيير نكيما الكبد، وهذا يتفق مع اسة (2005) Tarantino et al. التي أظهرت حصول توسعال الجيبانبات الدموية وظهور الفجوات في أكباد الأرانبا المعرضة إلى EMF، ومن نتائج الدر اسة الحالية تبين ان تفا عمستو بالكلستر ولو الكليسريدات الثلاثية فمن الممكن أن تكون تلك الفجوات هونمتر اكمة في سايتو بلاز مالخلايا وهذا مايسمى بالتكسالة هني . إفتقظهور إرتشاح الخلايا الإلتهابية في الكبد معدر اسة (2008) Al-Glaib et al. التي أوجدت حصول إرتشاح خلايا الإلتهابية وحدوث استجابة إلتهابية حادة حول الوريد المركز في أكباد الفئر انبا المعرضة لـ EMF، وه دايتفق أيضا مع (2011) El-Bedwi et al. الذي بين بان التعرض للأشعة الموبايليسبب تنكسالات خلايا الكبدية وتنخرها إضافة إلى إرتشاح خلايا الإلتهابية في المنطقة البوابية . قد يكون سبب تنخر الخلايا الكبدية عائد إلى التأثير EMF بحثعملية الأكسدة الفوقية لدهون LPO التي تهاجمدها غشية الخلايا الكبدية وتحطم أنوية الخلايا مؤدية إلى فقد انتركيبيها الطبيعي، يتفق هذا الرأي مع نتائج الدر اسة (2007) Zare et al. التي توصلنا إلى تنخر الخلايا الكبدية وتفجيسايتو بلاز مها عند تعرضها لـ EMF بتردد 5-50 Hz . من الأسباب الأخر بالمحتملة لتفسير أضرار الكبد هو الإنخفاض الحاصل في مستوى Glutathione (GSH) (الذي يعد كاساحجيد الـ ROS في نظام الدفاع المضاد للأكسدة الإنزيمي، وجد Gokcimen et al. (2002) إن GSH يعمل على حماية الخلايا الكبدية من تأثيرات الجهد التأكسدي، إذ بين Koyu et al. (2009) إن الجهد التأكسدي في الكبد الناتج من التعرض لـ EMF يؤدى إلى الأكسدة الفوقية لدهون وإحداث أضرار الكبدية، وهذا يتفق مع (2015) Topal et al. الذي ذكر إن التعرض للأشعة الكهر ومغناطيسية عند التردد 900 MHz يسبب إنخفاض في مستوى GSH .

References

Al-Glaib, B. ; Al- Dardfi, M. ; Al- Tuhami, A. ; Elgenaidi , A. and Dkhil, M. (2008) . A technical report on the effect of electromagnetic radiation from a mobile phone on mice organs . Libyan. J. Med., 3(1): 8- 9

Alisi,C. ; Ojiaka,C. ; Onyeze,C. and Oanaywu,A. (2011) . Normalisation of Lipoprotein phenotypes by *Chromolaena odorata* –Linn-in carbon tetrachloride hepatotoxicity- induced dyslipidaemia . Am . J . Drug , Discov . Dev .1: 209- 219

Allain , C.C. (1974) . Clin . Chem . 2014 ,470 - 475 .

Al-Mosawi,A.J. (2006) . Principles clinical pathophysiology of uremia and relevant urea metabolism . Therapy . 3 (2) : 303-308 .

Bancroft, J.D. and Gamble, M. (2008) . Theory and practices of histological technique . 2nd ed . Churchill Elsevier . London .,

Bayazit, V. (2009) . Evaluation of potential carcinogenic effects of electromagnetic fields (EMF) on tissue and organs . Australian Journal of Basic and Applied Sciences 3 (2): 1043-1059 .

Belfield,A. and Goldberg, D.M. (1970) . Revised assay for serum phenyl phosphatase activity using 4- amino-antipyrine . Enzyme 12(5): 561-573.

Bowman,J.D. ; Garabrant,D.H. ; Sobel,E. and Peters,J.M. (1988) . Exposure to extremely low frequency (ELF) electromagnetic field in occupations with elevated leukemia rates . Appli. Ind. Hyg. 3(6) Pp : 189-194.

Croft,R.J. ; Chandler,J.S. ; Burgess,A.P. ; Barry,R.J. and Clarke,A.R. (2002) . Acute mobile phone operation affects neural function in humans . Clin . Neurophysiol . , (113): 1623 – 1632 .

Dhanaskara,J. and Ganapathy,M. (2011) . Hepatoprotective effect of *Cassia auriculata* L . leaf extract on carbon tetrachloride intoxicated liver damage in wistar albino rats . Asian . J. Biochem .(6): 104-112 .

Dindic, B. ; Sokolovic, D. ; Krstic, D. ; Petkovic, D. ; Jovanovic,J. and Muratovic, M. (2010) . Biochemical and histopathological effects of mobile phone exposure on rat hepatocytes and brain . Acta . Medica . Medianae . (49): 37 – 42 .

Dufour,D. (2001) . Evaluation of liver function and injury in clinical (Henry J. editor) .W.B. Saunders company . Clinical enzymology in clinical diagnosis and management by laboratory methods . 20th ed . (Henry J. editor) .W.B. Saunders company . 281-300.

El-Bedwi,A.B. ; El-kott,A.F. ; Saad,M. and Eid,E. (2011) . Effects of electromagnetic radiation produced by mobile phone on some visceral organs of rat . J. Medical . Science . 11(6): 256-260.

Fossati ,P. and Prencipe , L. (1982) . Clin . Chem . 28 , 2077 - 2080 .

Gokcimen,A. ; Ozguner,F. ; Karaoz,E. ; Ozen,S. and Aydin,G. (2002) . The effect of melatonin on morphological changes in liver induced by magnetic field exposure in rats . Okajimas Folia . Anat . Jpn .79(1): 25-31 .

Gowda,S. ; Desai,P.B. ; Hull,V.V. ; Math,A.A. K. ; Vernekar,S.N. and Kulkarni,S.S.A.(2009) . A review on laboratory liver function tests . The Pan . African Medical Journal.

Guenel, P. and Lellouch, J.(1992) . Effects of very low frequency electromagnetic field . Analysis of epidemiological literature . Les editions . INSERM . 101 P: 54 .

Guyton,A.C. and Hall,J.E. (2006) . Text book of medical physiology . 11th ed ., Elsevier Saunders , Philadelphia ,: 419-428.

Hassan,F.B. (2011) . Sub chronic effects of electromagnetic field exposure of adult female rats on some hormonal , biochemical and hematological parameters . Diyala Agricultural Sciences Journal . 3(1): 47-53 .

Hietanen,M. ; Hamalainen, A.M. and Husman,T. (2002) . Hypersensitivity symptoms associated with exposure to cellular telephones . no causal link . Bioelectromagnetics . (23) Pp : 264-270 .

ICNIRP report (2004) . Epidemiology of health effects of radiofrequency . Environ. Health perspect. (112): 1741 – 1754

Ilhan, A. ; Gurel, A. ; Armutcu, F. ; Kamisli, S. ; Iraz,M. ; Akyol, O. and Ozen,S.(2004) . Ginkgo biloba prevents mobile phone-induced oxidative stress in rat brain . Clin. Chim. Acta. (340): 153-162 .

Jaeschke, H. ; Ho,Y.S. ; Fisher,M.A. ; Lawson,J.A. and Farhood,A.(1999) . Glutathione peroxidase –deficient mice are more susceptible to neutrophil-mediated hepatic parenchymal cell injury during endotoxemia : importance of an intracellular oxidant stress . *Hepatology*, 29 (2): 443-450 .

Kerman,M. and Senol, N. (2012) . Oxidative stress in hippocampus induced by 900 MHz electromagnetic field emitting mobile phone . Protection by melatonin . *Biomedical Research ;* 23 (1): 147- 151.

Kind, P.R. and King, E.J.(1954) . Estimation of plasma phosphatase by determination of hydrolysed phenol with amino-antipyrine. *Journal of clinical pathology* 7(4): 322-326.

Koyu, A. ; Ozguner, F. ; Yilmaz, H. ; Uz, E. ; Cesur, G. and Ozcelik, N. (2009) . The protective effect of caffeic acid phenethyl ester (CAPE) on oxidative stress in rat liver exposed to the 900 MHz electromagnetic field . *Toxicol . Ind . Health .* 25(6): 429-434 .

Lahijani, M.S. ; Tehrani, D.M. and Sabouri, E. (2009) . Histopathological and ultra structural studies on the effects of electromagnetic fields on the liver of preincubated white leghorn chicken embryo . *Electromag . Biol . Med.* 28 (4): 391-413 .

Li,B.F. ; Guo,G.Z. ; Ren,D.Q. ; Jing-Li and Zhang,R.B. (2007) . Electromagnetic pulses induce fluctuations in blood pressure in rats . *Int . J . Radiat . Biol.* 83(6) Pp : 421-429 .

Mailnakot,M. ; Kunnath,A.P. ; Jayalekshmi, H. ; Koduru, B. and Valsalan,R. (2009) . Radiofrequency electromagnetic radiation (RF-EMR) from GSM (0.9/1.8MHZ) mobile phones induces oxidative stress and reduces sperm motility in rats .*Clinics* ,64 (6): 561 – 565 .

Marzook, E.A. ; Abd El Moneim,A.E. and Elhadary,A.A. (2014) . Protective role of sesame oil against mabile base station induced oxidative stress . *Journal of Radiation Research and Applied Sciences .* 1-6 .

- Mohamed, F.A. ; Ahmed,A.A. ; El-Kafoury, B.M. and Lasheen, N.N. (2011)** . Study of the cardiovascular effects of exposure to electromagnetic field . Life Science Journal , Vol .8 (1): 260 - 274 .
- Noaman,S.M. and Ibrahim,N. (2005)** . Egyption Journal of Radiation Science Applications . 18 (2) , P : 259 .
- Reitman,S. and Frankel,S. (1957)** . A colorimetric method for the determination of serum glutamic oxaloacetic and glutamic pyruvic transaminases. American Journal of Clinical pathology 28(1): 56 - 63 .
- Rusnani,A. ; Norhayati,M.N. ; Siti,N. and Marina,M. (2008)** . Microwave radiation effect- A test on white mice . IEEE International RF and microwave conference proceedings .
- Seker ,S. and Apaydin ,G. (2000)** . Effects of electromagnetic fields on human beings and electronic devices . Bogazici university , electric – electronic engineering department , Bebek , Istanbul , Turkey . No. : BAP3A 207 .
- Solanki, H.K. ; Prajapati,V.D. and Jani,G.K. (2010)** . Microwave technology – A Potential tool in pharmaceutical science . International Journal of Pharm . Tech . Research , CODEN (USA) : IJPRIF . 2 (3) : 1754- 1761 .
- Sudhir,V. (2004)** . Oxidants and iron in chronic kidney disease . Kidney Int. (66) Pp : 50–55.
- Sunmonu,T.O. ; Oloyede,O.B. ; Owolarafe,T.A. ; Yakubu,M.T. and Dosumu,O.O. (2014)** . Toxicopathological evalation of picralima nitida seed aqueous extract in wistar rats . Turk . J . Bioc . 39 (2): 119-125 .
- Tarantino, P. ; Lanubile, R. ; Lacalandra, G. ; Abbro, L. and Dini, L. (2005)** . Post continuous whole body exposure of rabbits to 650 MHz electromagnetic fields . effects on liver, spleen and brain . Radiat . Environ . Biophys . (44): 51 - 59 .
- Teodori, L.I. ; Giovanetti, A. ; Albertini,M.C. ; Rocchi, M. ; Perniconi, B. ; Valente, M.G. and Coletti, D. (2014)** . Static magnetic fields modulate X-ray induced DNA damage in human glioblastoma primary cells . J. Radiat. Res. 1; 55(2): 218-227 .

Thapa,B.R. and Walia,A. (2007) . Liver function tests and their interpretation . Indian Journal of Pediatrics , (70): 663-671 .

Tietz, N.W. (1999) .Text book of clinical chemistry. 3rd Ed. C.A. Burtis, E . R. Ashwood , W. B. Saunders . Pp : 819- 861.

Topal, Z. ; Hanci, H. ; Mercantepe, T. ; Erol, H.S. and Keles, O.N. (2015) . The effect of prenatal long duration exposure to 900 MHz electromagnetic field on the 21 day old newborn male rat liver . Turk. J. Med . Sci . 45 (2): 291-297 .

Trinder , P. (1969) . Ann .Clin . Biochem .(6): 27-29.

Wills,M.R. and Savory,J.(1981) . Biochemistry of renal failure .Annals of clinical and laboratory science 11(4): 292 - 299 .

Xiaodong, X. ; Xiaoguang,H. ; Hui, X. ; Liqin,W. ; Yuanrong,D. ; Lei,Y. and Zhengjie,X. (2012). Phosphatidylinositol 3-kinase inhibitor suppresses inducible nitric oxide synthase expression in bronchiole epithelial cells in asthmatic rats. Mol . Cell Biochem . (359): 293-299.

Yakubu, M.T. ; Akanji, M.A. and Oladiji,A.T. (2005) . A phrodisiac potentials of the aqueous extract of *Fadogia agrestis* (Schweinf. Ex Hiern) stem in male albino rats . Asian Journal of Andrology 7 (4): 399-404 .

Yurekli, A.L. ; Ozkan,M. ; Kalkan,T. ; Saybasili,H. ; Tuncel,H. ; Atukeren,P. ; Gumustas, K. and Seker,S. (2006) . GSM base station electromagnetic radiation and oxidative stress in rats . Electromagn . Biol . Med . (25): 177 -188 .

Zare, S. ; Alivandi, S. and Ebadi, A.G. (2007) . Histological studies of the low frequency electromagnetic fields effect on liver, testes and kidney in guinea pig , World Applied Sciences Journal, Vol. 2(5): 509 - 511.